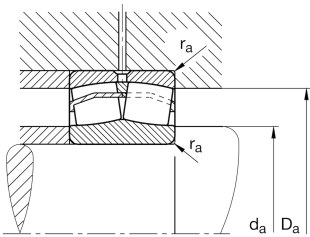
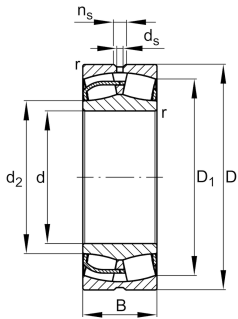


## Información técnica



### Variante de su producto actual

Ejecución	BE	Con anillo de labio sin centro
Tipo de agujero	Z	Cilíndrico
Jaula	JPB	Jaula de chapa de acero
Juego radial del rodamiento	C2 (Group 2)	Internal clearance smaller than CN
Función de relubricación	Norma	Estándar

### Medidas principales y datos de rendimiento

d	150 mm	Diámetro del agujero
D	250 mm	Diámetro exterior
B	100 mm	Anchura
$C_r$	1.050.000 N	Capacidad de carga dinámica, radial
$C_{0r}$	1.520.000 N	Capacidad de carga estática, radial
$C_{ur}$	153.000 N	Límite de carga por fatiga, radial
$n_G$	2.370 1/min	Velocidad límite de rotación
$n_{gr}$	1.270 1/min	Velocidad de referencia
$m$	19,6 kg	Peso



### Medidas de montaje

$d_{a \min}$	162 mm	Diámetro mínimo resalte del eje
$D_{a \max}$	238 mm	Diámetro máximo del resalte del alojamiento
$r_{a \max}$	2,1 mm	Radio máximo de la ranura

### Medidas

$r_{\min}$	2,1 mm	Medidas mínimas del chaflán
$D_1$	213 mm	Diámetro del agujero del anillo exterior
$d_2$	170,3 mm	Diámetro de la pista de rodadura del anillo interior
$d_s$	4,8 mm	Diámetro del agujero de engrase
$n_s$	9,5 mm	Anchura de la ranura de lubricación

### Rango de temperatura

$T_{\min}$	-30 °C	Temperatura mín. de funcionamiento
$T_{\max}$	200 °C	Temperatura máx. de funcionamiento



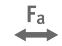





### Factores de cálculo

$e$	0,37	Valor límite de $F_a/F_r$ para la aplicabilidad de dif. Valores de los factores X e Y
$Y_1$	1,83	Factor de carga axial dinámica
$Y_2$	2,72	Factor de carga axial dinámica
$Y_0$	1,79	Factor de carga axial estática



### Características

---

-  Carga radial
-  Carga axial en un sentido
-  Carga axial en ambos sentidos
-  Lubricación con grasa
-  Lubricación con aceite
-  No obturado
-  Errores de alineación estáticos
-  Errores de alineación dinámicos